

тяных и газовых месторождений : науч. тр. ИТЦ «Астраханьгазпром». – Астрахань, 2001. – С. 22–25.

7. Серебряков А. О. Эколого-геологическое и технологическое обоснование захоронения сероводородсодержащих стоков в глубинные горизонты межкупольных мульд на газоконденсатных месторождениях Прикаспийской впадины / А. О. Серебряков. – Волгоград, 2000. – С. 52–54.

ВЛИЯНИЕ ТЕКТОНИЧЕСКОГО ПОЛОЖЕНИЯ ПРИКАСПИЙСКОГО ГЕОБЛОКА НА ФОРМИРОВАНИЕ АСТРАХАНСКОГО КАРБОНАТНОГО МАССИВА

Халед Гамаль Эльмаадави, аспирант

*Астраханский государственный университет,
тел.: (8512)44-00-95, e-mail: kelmaadawy@yahoo.com*

Рецензент: Серебряков А.О.

Астраханский свод располагается на юго-западном краю Восточно-Прикаспийского геоблока. Непосредственно рядом с ним находились более тектонически активные отрицательные структуры, такие как Центрально-Прикаспийская депрессия на севере и Донбасс-Туаркырская система на юге. Такое положение региона обеспечивало непрерывное преимущественно карбонатное осадконакопление на относительно приподнятом блоке, защищенном от поступления больших масс обломочного материала.

The Astrakhan vault lies in the southwestern edge of the Eastern Precaspian geoblock. It is located near tectonically active negative structures, namely the Central Precaspian depression in the north and the Donbass-Tuarkyr system in the south. This tectonic position of the region provided non-continuous predominantly carbonate deposition in relatively decreased block protected from large mass of detritus.

Ключевые слова: Астраханский свод, Восточно-Прикаспийский геоблок, тектонически активные отрицательные структуры.

Key words: the Astrakhan vault, the Eastern Precaspian geoblock, tectonically active negative structures.

Астраханский свод расположен в южной части Рифейско-кайнозойской Прикаспийской впадины Восточно-Европейской платформы, с позднепротерозойским (кадомским) возрастом фундамента южной краевой зоны древней Восточно-Европейской платформы, возраст фундамента которой дорифейский. Непосредственно рядом с ним находились более тектонически активные отрицательные структуры, такие как Центрально-Прикаспийская рифейско-палеозойско-мезокайнозойская депрессия на севере и Донбасс-Туаркырская девонско-раннепермская рифтовая система на юге (рис.).

Фундамент Прикаспийской впадины состоит из нескольких крупных геоблоков, разделенных разломами и различающихся строением, возрастом и особенностями развития доплитного и плитного комплексов. На севере располагаются восточная часть Сарматского геоблока [11] – Воронежский блок (Воронежская антеклиза) и Волго-Уральский геоблок, разделенные узким Торопец-Сердобским блоком, погребенным под рифейским Пачелмским авлакогеном и выделенным по геофизическим данным [3]. Эти блоки фундамента имеют гранитизированную кору архей-раннепротерозойского возраста.

Восточнее Воронежского и южнее Волго-Уральского геоблоков располагается Центрально-Прикаспийский геоблок, характеризующийся архейско-раннепротерозойской утоненной континентальной корой, или корой переходного типа, в основании которой залегает линза предположительно эклогитового состава [4, 9]. Центрально-Прикаспийский геоблок отделен от Воронежского и Волго-Уральского системой долгоживущих разломов. Тектонические движения по этой системе разломов происходили непрерывно в течение всего рифея и палеозоя, в результате чего Центрально-Прикаспийский геоблок оказался погруженным на глубину 22 км. На востоке Центрально-Прикаспийский геоблок ограничен системой разломов Уральской покровно-складчатой системы.

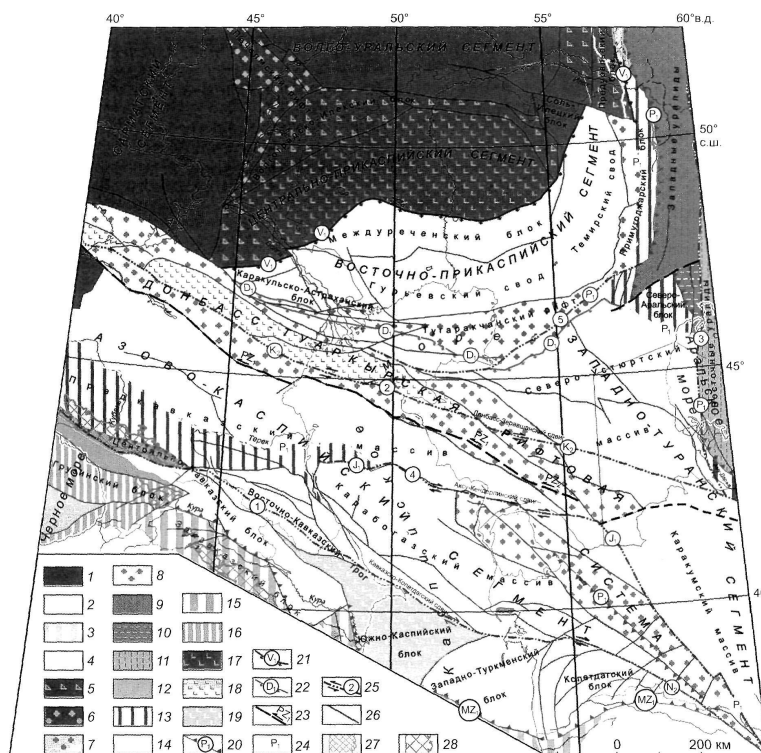


Рис. 1. Структурно-тектоническая карта консолидированной коры Каспийского региона (составили: Ю.А. Волож, М.П. Антипов, А.Я. Бродский, В.А. Быкалов, В.Г. Казьмин, Р.Б. Сапожников, Ю.Г. Юрлов при участии Е.Н. Александровой, Е.Е. Куриной, Р.Л. Певзнера, А.Е. Шлезингера, С.Ю. Соколова).

1—4 — сегменты и блоки фундамента Восточно-Европейского палеозойского континента: 1 — блоки фундамента дорифейской консолидации, 2 — блоки допалеозойской (каломекской) консолидации, 3 — блоки допалеозойской (каломекской) консолидации, переработанные в раннем палеозое (кембрий—силур), фундамент западной части Турецкой плиты, 4 — блоки допалеозойской (каломекской) консолидации, переработанные в позднем палеозое (позний девон—ранний карбон), фундамент Скифской плиты; 5 — фундамент пассивных окраин континента с утоненной корой рифейского возраста, 6, 7 — фундамент внутритектонических рифтов: 6 — рифейского и 7 — раннепалеозойского возраста; 8 — фундамент; 9—11 — фундамент палеозойской консолидации Урало-Тиань-Шаньского коллизионного пояса; 9 — западные урадильы, 10 — тиншанильы, 11 — восточные урадильы; 12—16 — блоки фундамента активной окраины палеозойского континента (северная окраина океана Палеогетис) и альпийского коллизионного пояса: 12 — нерасщепленная кора позднепалеозойской консолидации, 13 — допалеозойского возраста, переработанные в позднем палеозое, 14 — раннемезозойской консолидации, 15 — раннемезозойской консолидации, переработанные в альпийское время, 16 — нерасщепленные позднальпийской консолидации; 17—19 — области с утонением консолидированной коры; 17 — Центрально-Прикаспийского блока, 18 — Донбасс-Таирский складчатый система, 19 — Южно-Каспийского и Восточно-Черноморского блоков, 20—24 — шовные структуры; 20 — официтовые сuture (индексом указан возраст), 21 — граница тыловых коровых деформаций коллизионного складчатого пояса каледонид, 22 — граница тыловых коровых деформаций субкулонидного складчатого пояса каледонид, 23 — трансформные разломы, 24 — фронт коровых складок (индексом указан возраст), 25 — постколлизионные трансконтинентальные свиты (цифры в кружках): 1 — Кавказско-Кондатгекский; 2 — Донбасс-Заравинский; 3 — Урало-Герирудский; 4 — Аксу-Кендерлинский; 5 — Южно-Эмбинский (индексом указан возраст по ним); 26 — прочие региональные тектонические нарушения; 27, 28 — выходы пород фундамента на поверхность: 27 — дорифейского и 28 — палеозойского возраста.

С юга к Центрально-Прикаспийскому геоблоку примыкает Восточно-Прикаспийский, имеющий существенно более молодой возраст фундамента, который сложен покровно-складчатыми структурами позднепротерозойского (предположительно кадомского) возраста. Восточно-Прикаспийский геоблок частично надвинут на утоненную кору архей раннепротерозойского возраста Центрально-Прикаспийского геоблока. Предполагается, что Восточно-Прикаспийский геоблок причленился к Восточно-Европейской платформе только в конце протерозоя в результате кадомской (панафриканской) орогении с возрастом гранитизации 600–550 млн лет [10].

Центрально-Прикаспийский и Восточно-Прикаспийский геоблоки срезаются системой разломов субширотного простирания (Каракульско-Смушковско-Северо-Устюртская зона надвигов), которые контролируют северную границу распространения складчатых структур Донбасса, кряжа Карпинского и Мангышлака (Донбасс-Туаркырская система рифтов). Эти линейные зоны дислокаций возникли в результате позднепалеозойско-раннемезозойской инверсии девонской Донбасс-Туаркырской рифтовой системы. Последняя генетически связана с заложением в конце раннего девона вблизи юго-восточной окраины Восточно-Европейского палеозойского континента крупного сдвига.

На востоке к Донбасс-Туаркырской системе примыкает Северо-Устюртский геоблок, имеющий фундамент, как и Восточно-Прикаспийский геоблок, позднепротерозойского (кадомского) возраста, но переработанный тектономагматическими процессами в раннем палеозое (поздний ордовиксилур). С Тугаракчанским рифтом Северо-Устюртский геоблок сочленяется по крупному надвигу, а с Донбасс-Туаркырским – по системе сбросов. На юго-западе располагается Азово-Каспийский кадомский (доверхневенденский) геоблок.

Строение осадочного чехла (доплитного и плитного комплексов) всех этих геоблоков находится в тесной зависимости от рельефа поверхности фундамента, который сложился в своих основных чертах к концу протерозоя, когда к южному краю Восточно-Европейской платформы причленились Восточно-Прикаспийский, Северо-Устюртский и Азово-Каспийский геоблоки.

Плитный комплекс этих геоблоков начал формироваться лишь в ордовике. Он в значительной мере унаследовал рифейское моноклинально-блоковое строение с общим погружением в юго-восточных и южных румбах. Это обусловлено тем, что в палеозое и мезокайнозое осадочный чехол этих геоблоков образовывал конседиментационные склоны Центрально-Прикаспийской депрессии, развившейся на месте рифейской пассивной окраины. Характер развития конседиментационных склонов плитного комплекса можно проследить на примере Приволжской моноклинали, сформированной в палеозое на востоке-юго-востоке Воронежского геоблока.

В нижне-среднедевонских и нижнепалеозойских отложениях не наблюдается существенного увеличения мощностей отложений по сравнению со склоном Воронежского массива, а также в волновой картине сейсмических профилей не обнаружен клиноформный характер наслоения. Таким образом, можно утверждать, что интенсивное прогибание в расположеннем восточнее Сарпинском прогибе (краевой части Центрально-Прикаспийской депрессии) началось только в начале позднего девона. Видимо, именно в это время происходит четкая дифференциация и обособление бассейна Центрально-Прикаспийской депрессии. Наиболее интенсивное погружение восточной

части Приволжской моноклинали происходило, по мнению многих исследователей [5], в конце карбона – начале перми, в ходе заложения расположенных южнее передовых прогибов кряжа Карпинского (Каракульско-Смушковской зоны). С востока Приволжская моноклиналь как юго-восточное окончание Воронежского блока ограничивается высокоамплитудным разломом фундамента, который в вышележащих отложениях девона и карбона выражен флексурой. Этот разлом был заложен в момент обособления континента Балтия в конце раннего протерозоя. Подобный разлом ограничивает с юга Волго-Уральский геоблок. В структуре осадочного чехла в зоне сочленения с Центрально-Прикаспийским геоблоком прослеживается система мегавалов и флексур, часто осложненных сбросами. Граница между бортовой зоной и Центрально-Прикаспийским блоком обычно проводится по верхней кромке верхнепермского тектоно-седиментационного уступа.

Осадочный чехол Восточно-Прикаспийского геоблока начал формироваться не в рифее (рифей входит в состав фундамента), а только начиная с ордовика.

В центральной части Восточно-Прикаспийского геоблока по положению поверхности фундамента выделяется субширотная Астраханско-Актюбинская система поднятий кадомского фундамента, имеющая блоковое строение. На крайнем западе Астраханско-Актюбинской системы поднятий расположен Юстинско-Астраханский блок, в пределах которого в девоне начал формироваться Астраханский (Жамбайский) карбонатный массив, имеющий структуру свода.

Аналогичные карбонатные массивы одновременно формировались в виде прерывистой цепочки на всем протяжении сводовой части Ахтюбинско-Астраханской системы поднятий. Восточнее расположены Северо-Каспийский (Кашаган-Каратой-Тенгизский), Гурьевский и Биикжалский карбонатные массивы. Со всеми этими поднятиями связаны залежи УВ. Астраханско-Актюбинская система поднятий характеризуется пониженной мощностью осадочного чехла, не превышающей 8 км. Кроме того, в сводовой части этой системы поднятий формирование осадочного чехла начинается только в раннем девоне. В то время как на ее северном склоне, обычно называемом в литературе Междуреченской ступенью, в основании чехла развиты отложения ордовика-силура, общая мощность осадочного чехла постепенно увеличивается до 12 км, смыкаясь с палеозойским осадочным чехлом Центрально-Прикаспийской депрессии.

Строение южного склона Астраханско-Актюбинской системы поднятий и одновременно южной части Восточно-Прикаспийского геоблока определяет грабен нижнепалеозойского возраста, выделенный впервые Ю.А. Воложем как Тугаракчанский рифт [4], возникший одновременно с деструктивными процессами на восточной окраине Восточно-Европейской платформы во время заложения Уральского палеоокеана. Вулканогенно-осадочные отложения, выполняющие грабен, обособлены по геофизическим данным [5, 9] и, скорее всего, одновозрастны кидясовскому комплексу позднекембрийско-тремадокского возраста восточной окраины Восточно-Европейской платформы и Сакмарской зоны Урала [2, 6–8]. В среднем палеозое над Тугаракчанским рифтом сформировался Тугаракчанский (Южно-Эмбипский) прогиб.

Астраханский свод, или карбонатная платформа, расположена в западной части Астраханско-Актюбинской системы поднятий в пределах его Юстинско-Астраханского блока и представляет собой карбонатный массив де-

вонско-каменноугольного возраста, который являлся первоначально частью более крупной Астраханско-Жамбайской карбонатной платформы. Однако в современной структуре от этой платформы в ненарушенном виде сохранилась только ее северо-восточная (Астраханская) часть. Жамбайская часть платформы и небольшой юго-западный фрагмент Астраханского массива в ходе позднепалеозойско-раннемезозойской орогении были отрезаны Северо-Каракульским правосторонним сдвигом и перемещены в западном направлении. Отдельные пластины этих карбонатов в виде изолированных блоков можно наблюдать в пределах Каракульско-Смушковской зоны кряжа Карпинского к югу и юго-западу от Астраханского свода.

Астраханский свод как структурно обособленное поднятие наиболее четко выделяется по кровле отложений башкирского яруса среднего карбона (отражающему горизонту III(II₂)). Вниз и вверх по разрезу поднятие затухает. В кровле фундамента ему отвечает крупный структурный нос, а на уровне кровли подсоленого комплекса (отражающий горизонт I₁) – пологая терраса.

Астраханское поднятие располагается на юго-западном краю Восточно-Прикаспийского геоблока. Такое положение региона обеспечивало непрерывное преимущественно карбонатное осадконакопление на относительно приподнятом блоке, защищенном от поступления больших масс обломочного материала.

В среднем палеозое главные источники сноса обломочного материала располагались на юге, западе и северо-западе. Материал из южных источников сноса почти целиком перехватывался активно прогибавшимися бассейнами Донбасс-Туаркырской рифтовой системы. Поэтому большую часть среднего палеозоя в пределах северной зоны ступеней Донбасс-Туаркырской рифтовой системы и в пределах Астраханско-Актюбинской зоны поднятий, включая Астраханское поднятие, отлагались толщи преимущественно карбонатного состава, лишь в отдельные периоды регressive содержавшие прослои тонкообломочных терригенных отложений дальнего привноса. Седиментационная ситуация начинает меняться лишь к концу среднекаменноугольной эпохи, когда обильный терригенный материал, поставляемый южными источниками сноса, достигает не только Центрально-Прикаспийской депрессии, но и юго-восточной части Приволжской моноклинали. С этого момента в районе Центрально-Прикаспийской депрессии устанавливается режим существенно терригенного компенсированного осадконакопления. Осадки отлагаются в условиях мелководного шельфа. На Астраханском своде верхнекаменноугольные отложения сохранились фрагментарно из-за более позднего размыва. Однако и здесь преобладают терригенно-обломочные и карбонатно-обломочные отложения.

Наиболее активные тектонические движения в рассматриваемом регионе проявились неоднократно: в венде – начале палеозоя во время причленения Восточно-Прикаспийского геоблока, в начале девона в связи с проявлениями процессов рифтогенеза, в живете – начале франа в связи с тельбесской фазой тектонических движений в Уральском палеооксанде, в конце ранней перми – из-за закрытия Уральского палеооксана и на границе триаса и юры – в связи с инверсией Донбасс-Туаркырской рифтовой системы, когда под воздействием коллизионных процессов на северной периферии Палеогетиса в течение позднего палеозоя – раннего мезозоя на ее месте возникла складчатая зона Донбасса, Мангышлака и Туаркыра [1].

Библиографический список

1. *Астраханский карбонатный массив*: строение и нефтегазоносность / под ред. Ю. А. Воложа, В. С. Парасыны. – М. : Научный мир, 2008. – 216 с.
2. *Бочкарев В. В.* Субщелочной магматизм Урала / В. В. Бочкарев, Р. Г. Язева. – Екатеринбург, 2000. – 255 с.
3. *Буш В. А.* Геодинамическая модель формирования позднеархейских – раннепротерозойских структур Воронежского массива / В. А. Буш, Ю. Н. Ермаков, Л. Н. Уйманова // Геотектоника. – 2000. – № 4. – С. 14–24.
4. *Волож Ю. А.* Осадочные бассейны Западного Казахстана (на основе сейсмостратиграфического анализа) : автореф. дис. ... докт. геол.-мин. наук / Ю. А. Волож. – М. : ГИН АН СССР, 1991. – 47 с.
5. *Волож Ю. А.* Эклогитовая модель формирования Прикаспийской впадины / Ю. А. Волож, М. П. Антшюв, И. А. Гарагаш, Л. И. Лобковский // Осадочные бассейны: методика изучения, строение и эволюция. – М. : Научный мир, 2004. – С. 471–486.
6. *Руженцев С. В.* Краевые офиолитовые аллохтоны (тектоническая природа и структурное положение) / С. В. Руженцев // Труды ГИН АН СССР. – М. : Наука, 1976. – Вып. 283. – 170 с.
7. *Руженцев С. В.* Палеозойские структурно-формационные комплексы Восточно-Европейской континентальной окраины на Полярном Урале / С. В. Руженцев, А. А. Савельев // Доклады РАН. – 1997. – Т. 352, № 4. – С. 507–510.
8. *Самыгин С. Т.* Дифференцированное смещение оболочек литосферы и эволюция формационных комплексов (Урал) / С. Т. Самыгин // Тектоническая расслоенность литосферы : тр. ГИН АН СССР. – М. : Наука, 1980. – Вып. 343. – С. 29–63.
9. *Сегалович В. И.* Гравитационная и магнитная томография сплошных геологических сред / В. И. Сегалович, О. А. Васильев, А. С. Шумилов // Разведка и охрана недр. – 2003. – № 5. – С. 21–27.
10. *Cawood P. A.* Terra Fustralis Orogen: Rodinin breakup and development of the Pacific and Japetus margins of Gondwana during the Neoproterozoic and Paleozoic / P. A. Cawood // Earth-Science Reviews. – 2004. – Vol. 69, № 3/4. – Pp. 249–279.
11. *Shchipansky A. A.* The Sarmatian crustal segment: Precambrian correlation between the Voronezh Massif and the Ukrainian Shield across the Dniepr – Donets Aulacogen / A. A. Shchipansky, S. V. Bogdanova // Tectonophysics. – 1996. – Vol. 268. – Pp. 109–125.

ГЕОЛОГИЧЕСКОЕ СТРОЕНИЕ СЕВЕРО-ЧУКОТСКОГО ОСАДОЧНОГО БАССЕЙНА И АЛЯСКИ

Р.Ф. Кулемин, аспирант;

В.А. Андрианов, профессор кафедры географии

Астраханский государственный университет,

тел.: 8(8512) 44-00-95, e-mail: geologi2007@yandex.ru

Рецензент: Серебряков А.О.

Северная Чукотка, Северная Аляска и прилегающий континентальный шельф представляют часть большого бассейна, некогда протягивавшегося через единый континент (Гиперборейская платформа), фрагменты которого идентифицированы в разных частях Арктического океанического бассейна (Чукотка, Северная Аляска, Северная Канада). В результате коллизии возникают новые горные системы (хребет Брукса, Колымское нагорье и Врангелевско-Геральдская гряда).

Northern Chukotka, Northern Alaska and the adjacent continental shelf present a part of a large basin that once stretched across one continent (the Hyperborean platform), fragments of which have been identified in different parts of the Arctic Ocean basin (Chukotka,